

数字图像处理

第六次作业

姓名：余静

班级：自动化 62

学号：2160504052

提交时间：2019.4.2

摘要

本次实验基于MATLAB，实现对图像的加噪、运动模糊、复原等操作，比较不同滤波复原方式的优劣。1. 先给图像加高斯噪声，用几种均值滤波器和统计排序滤波器对图像进行恢复，并比较效果；2. 利用脉冲(椒盐)噪声的PDF；3. 推导维纳滤波器模型，产生运动模糊和高斯噪声，

一. 在测试图像上产生高斯噪声 lena 图-需能指定均值和方差；并用多种滤波器恢复图像，分析各自优缺点；

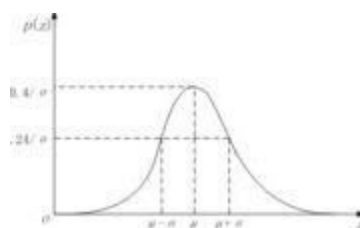
1. 问题分析：

(1) 高斯噪声：

高斯噪声是指它的概率密度函数服从高斯分布（即正态分布）的一类噪声。一个高斯随机变量 z 的 PDF 可表示为：

$$P(z) = \frac{1}{\sqrt{2\pi}\sigma} \exp\left[-\frac{(z-\mu)^2}{2\sigma^2}\right]$$

其中 z 代表灰度， μ 是 z 的均值，是 z 的标准差。高斯噪声的灰度值多集中在均值附近。



(2) 算数均值滤波：

令 S_{xy} 表示中心在点 (x,y) 处，大小为 $m \times n$ 的矩形子图像窗口的一组坐标。算术均值滤波器在 S_{xy} 定义的区域中计算被污染的图像 $g(x,y)$ 的平均值

$$\hat{f}(x,y) = \frac{1}{mn} \sum_{(s,t) \in S_{xy}} g(s,t)$$

(3) 几何均值滤波:

使用几何均值滤波器复原一幅图像由如下表达式给出:

$$\hat{f}(x, y) = \left[\prod_{(s, t) \in S_{xy}} g(s, t) \right]^{\frac{1}{mn}}$$

(4) 谐波均值滤波:

谐波均值滤波器操作由如下表达式给出:

$$\hat{f}(x, y) = \frac{mn}{\sum_{(s, t) \in S_{xy}} \frac{1}{g(s, t)}}$$

谐波均值滤波器对于盐粒噪声效果较好，但不适用于胡椒噪声。善于处理像高斯噪声那样的其他噪声。

(5) 逆谐波均值滤波:

逆谐波均值滤波器基于如下表达式产生一副复原图像:

$$\hat{f}(x, y) = \frac{\sum_{(s,t) \in S_{xy}} g(s, t)^{Q+1}}{\sum_{(s,t) \in S_{xy}} g(s, t)^Q}$$

其中 Q 称为滤波器的阶数。这种滤波器适合减少或者在实际中消除椒盐噪声的影响。当 Q 的值为正时，该滤波器消除胡椒噪声；当 Q 的值为负时，该滤波器消除盐粒噪声。但是它不能同时消除这两种噪声。当 Q 等于 0 时，简化为算数均值滤波器，当 Q 等于 -1 时，则为谐波滤波器。

实验结果:

(1) 添加高斯噪声:

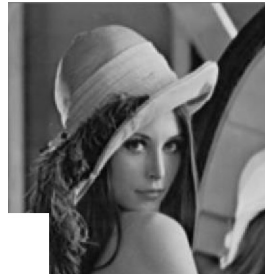


(2) 图像恢复:

算术均值滤波



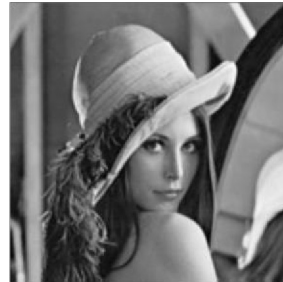
几何均值滤波



谐波均值滤波



逆谐波均值滤波 $Q=1$



结果分析:

随着方差的增加, 图像的噪声现象更加严重, 随着均值的增加, 图像变得更加明亮; 分别使用四种滤波器进行了恢复, 算数均值在细节方面比较模糊, 中值滤波器保留更多图像细节信息, 自适应局部滤波器保留图像的细节最多

二. 在测试图像 lena 图加入椒盐噪声 (椒和盐噪声密度均是 0.1); 用学过的滤波器恢复图像; 在使用反谐波分析 Q 大于 0 和小于 0 的作用;

1. 问题分析:

椒盐噪声 (salt-and-pepper noise) 又称脉冲噪声, 它随机改变一些像素值, 在二值图像上表现为使一些像素点变白, 一些像素点变黑。是由图像传感器, 传输信道, 解码处理等产生的黑白相间的亮暗点噪声。椒盐噪声往往由图像切割引起, 去除脉冲干扰及椒盐噪声最常用的算法是中值滤波。

2. 实验结果:

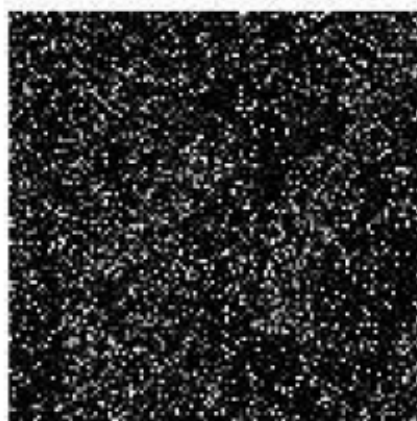
加入椒盐噪声的图



均值滤波



拉普拉斯滤波



高斯滤波



unsharp 滤波



反谐波分析 Q 大于 0 和小于 0 的作用

逆谐波 Q 为1.5



逆谐波 Q 为-1.5



分析：四种均值滤波方式均可对椒盐噪声实现衰减，但在恢复效果上存在细微的差别。相比于算术均值与几何均值，尽管对噪声的衰减都起到了作用，但几何均值并未像算术均值那样使图像变得模糊。算术均值与几何均值更适合于处理高斯或均匀随机噪声。逆谐波均值更适合于处理脉冲噪声信号。

三. 推导维纳滤波器并实现下边要求;

(a) 实现模糊滤波器如方程Eq. (5.6-11).

(b) 模糊lena图像: 45度方向, $T=1$;

(c) 再模糊的lena图像中增加高斯噪声, 均值= 0 , 方差=10 pixels 以产生模糊图像;

(d) 分别利用方程 Eq. (5.8-6) 和 (5.9-4), 恢复图像; 并分析算法的优缺点. 问题分析:

(1) 模糊滤波器:

图像的运动模糊是由于在成像曝光过程中, 物体和相机之间的相对运动, 使得物体上同一点的光线在多个成像单元上引起响应造成的。以 $g(x,y)$ 表示模糊后的图像, T 表示积分时间, 运动模糊原理可以表示为:

$$g(x,y) = \int_0^T f[x-x_0(t), y-y_0(t)] dt$$

对上式进行傅里叶变换, 得

$$G(u,v) = \int_{-\infty}^{+\infty} \int_{-\infty}^{+\infty} \left[\int_0^T f[x-x_0(t), y-y_0(t)] dt \right] e^{-j2\pi(ux+vy)} dx dy$$

利用傅里叶变换的移位性质, 频域模糊函数可以表示为

$$H(u,v) = \int_0^T e^{-j2\pi[ux_0(t)+vy_0(t)]} dt$$

现在考虑最简单的情况, 那就是如果物体在两个坐标轴方向的运动是匀速直线运动, 那么最终的模糊函数可以写为

$$H(u,v) = \frac{T}{\pi(ua+vb)} \sin[\pi(ua+vb)] e^{-j\pi(ua+vb)}$$

此过程的建模结果与频域滤波形式相类似, 在进行处理时可以参照频域滤波的步骤, 以 $H(x,y)$ 作为滤波器函数, 对进行填充和中心化后的图像频谱进行直接相乘即可。

(2) 维纳滤波器的推导:

维纳滤波是一种基于最小均方误差准则、对平稳过程的最优估计器。这种滤波器的输出与期望输出之间的均方误差为最小, 因此, 它是一个最佳滤波系统。它可用于提取被平稳噪声所污染的信号。

图像的退化模型为:

$$x(n_1, n_2) = b(n_1, n_2) * s(n_1, n_2) + w(n_1, n_2) \quad (1)$$

其中, $s(n_1, n_2)$ 为原始图像, $b(n_1, n_2)$ 为退化函数, $w(n_1, n_2)$ 为噪声函数, $x(n_1, n_2)$ 为退化的图像。并假设 s 与 w 不相关, w 为 0 均值的平稳随机过程。

图像的复原模型为:

$$\hat{s}(n_1, n_2) = h(n_1, n_2) * x(n_1, n_2) = \sum_{l_1} \sum_{l_2} h(l_1, l_2) \times x(n_1 - l_1, n_2 - l_2) \quad (2)$$

其中, $\hat{s}(n_1, n_2)$ 为恢复的图像, $h(n_1, n_2)$ 为恢复滤波器。

误差度量为:

$$e^2 = E\{(s(n_1, n_2) - \hat{s}(\eta_1, \eta_2))^2\}$$

基于正交性原理，若要求误差最小，则必有下列式成立： (5)

$$E\{e(n_1, n_2) \times x^*(m_1, m_2)\} = 0$$

将 (3) 式代入 (4) 式有：

$$E\{s(n_1, n_2) \times x^*(m_1, m_2)\} = E\{\hat{s}(\eta_1, \eta_2) \times x^*(m_1, m_2)\} \quad (3)$$

$$(4)$$

即

$$\begin{aligned} R_{sx}(n_1 - m_1, n_2 - m_2) &= E\left\{\sum_{l_1} \sum_{l_2} h(l_1, l_2) \times x(n_1 - l_1, n_2 - l_2) \times x^*(m_1, m_2)\right\} \\ &= \sum_{l_1} \sum_{l_2} h(l_1, l_2) \times E\{x(n_1 - l_1, n_2 - l_2) \times x^*(m_1, m_2)\} \\ &= \sum_{l_1} \sum_{l_2} h(l_1, l_2) \times R_{xx}(n_1 - l_1 - m_1, n_2 - l_2 - m_2) \\ &= h(n_1 - m_1, n_2 - m_2) * R_{xx}(n_1 - m_1, n_2 - m_2) \end{aligned} \quad (6)$$

换元得：

$$R_{sx}(n_1, n_2) = h(n_1, n_2) * R_{xx}(n_1, n_2) \quad (7)$$

等式两端同时取傅里叶变换得：

$$P_{sx}(w_1, w_2) = H(w_1, w_2) \times P_x(w_1, w_2) \quad (8)$$

即

$$H(w_1, w_2) = \frac{P_{sx}(w_1, w_2)}{P_x(w_1, w_2)} \quad (9)$$

公式 (8) 中

$$\begin{aligned} R_{sx}(n_1, n_2) &= E\{s(n_1 + k_1, n_2 + k_2) \times x^*(k_1, k_2)\} \\ &= E\{s(n_1 + k_1, n_2 + k_2) \times (\sum_{l_1} \sum_{l_2} b(l_1, l_2) \times s(k_1 - l_1, k_2 - l_2) + w(k_1, k_2))^*\} \\ &= \sum_{l_1} \sum_{l_2} b^*(l_1, l_2) \times E\{s(n_1 + k_1, n_2 + k_2) \times s^*(k_1 - l_1, k_2 - l_2) + s(n_1 + k_1, n_2 + k_2) \times w^*(k_1, k_2)\} \\ &= \sum_{l_1} \sum_{l_2} b^*(l_1, l_2) \times R_x(n_1 + l_1, n_2 + l_2) \\ &= b^*(-n_1, -n_2) * R_x(n_1, n_2) \end{aligned} \quad (10)$$

公式 (10) 两端同时取傅里叶变换得：

$$P_{sx}(w_1, w_2) = B^*(w_1, w_2) \times P_x(w_1, w_2) \quad (11)$$

公式 (8) 中

$$\begin{aligned}
R_x(n_1, n_2) &= E\{x(n_1 + k_1, n_2 + k_2) \times x^*(k_1, k_2)\} \\
&= E\{(\sum_{l_1} \sum_{l_2} b(l_1, l_2) \times s(n_1 + k_1 - l_1, n_2 + k_2 - l_2) + w(n_1 + k_1, n_2 + k_2)) \times (\sum_{m_1} \sum_{m_2} b(m_1, m_2) \times s(k_1 - m_1, k_2 - m_2) + w(k_1, k_2))^*\} \\
&= \sum_{l_1} \sum_{l_2} \sum_{m_1} \sum_{m_2} b(l_1, l_2) \times b^*(m_1, m_2) \times E\{s(n_1 + k_1 - l_1, n_2 + k_2 - l_2) \times s^*(k_1 - m_1, k_2 - m_2) + R_w(n_1, n_2)\} \\
&= \sum_{m_1} \sum_{m_2} b^*(m_1, m_2) \sum_{l_1} \sum_{l_2} b(l_1, l_2) R_s(n_1 + m_1 - l_1, n_2 + m_2 - l_2) + R_w(n_1, n_2) \\
&= \sum_{m_1} \sum_{m_2} b^*(m_1, m_2) \times (b(n_1 + m_1, n_2 + m_2) * R_s(n_1 + m_1, n_2 + m_2)) + R_w(n_1, n_2) \\
&= b^*(-n_1, -n_2) * b(n_1, n_2) * R_s(n_1, n_2) + R_w(n_1, n_2)
\end{aligned} \tag{12}$$

公式（12）两端同时取傅里叶变换：

$$P(w_1, w_2) = \left| B(w_1, w_2) \right|^2 \times P_s(w_1, w_2) + P_w(w_1, w_2) \tag{13}$$

将（11）式和（13）式带入（8）式得

$$H(w_1, w_2) = \frac{B^*(w_2, w_2) \times P_1(w_2, w_2)}{\left| B(w_1, w_2) \right|^2 \times P_s(w_1, w_2) + P_w(w_1, w_2)} \tag{14}$$

将符号化成与书中一致的表示

$$\begin{aligned}
w(u, v) &= \frac{H^*(u, v) \times |F(u, v)|^2}{|H(u, v)|^2 \times |N(u, v)|^2 + |N(u, v)|^2} \\
&= \frac{H^*(u, v)}{|H(u, v)|^2 + \frac{|N(u, v)|^2}{|F(u, v)|^2}}
\end{aligned} \tag{15}$$

故表达式由下式给出

$$\begin{aligned}
\hat{F}(u, v) &= \left[\frac{H^*(u, v) \times S_f(u, v)}{|H(u, v)|^2 \times S_f(u, v) + S_\eta(u, v)} \right] G(u, v) \\
&= \left[\frac{H^*(u, v)}{|H(u, v)|^2 + S_\eta(u, v) / S_f(u, v)} \right] G(u, v) \\
&= \left[\frac{1}{H(u, v)} \frac{|H(u, v)|^2}{|H(u, v)|^2 + S_\eta(u, v) / S_f(u, v)} \right] G(u, v)
\end{aligned} \tag{16}$$

实验结果



模糊变换



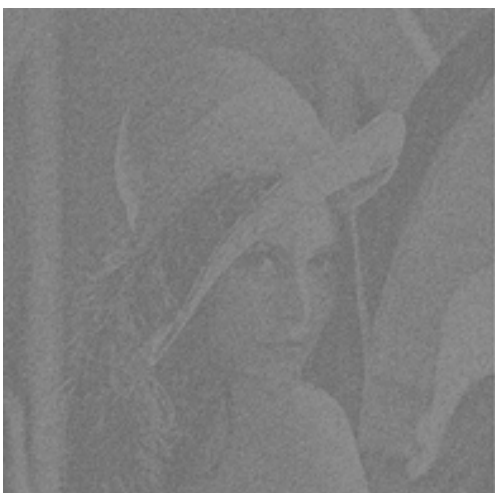
模糊变换后加入椒盐噪声



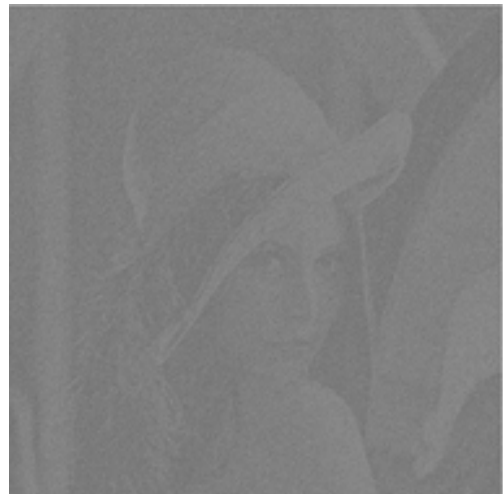
维纳滤波器恢复后图片 $k=0.0001$



维纳滤波器恢复后图片 $k=0.001$



维纳滤波器恢复后图片 $k=0.01$



维纳滤波器恢复后图片 $k=0.1$

分析：在相同参数选择下，最小二乘方滤波对噪声的去除效果更好，最终的复原图像中噪声的影响已经非常微弱，这可能与参数选择有关， k 和 r 过大或者过小都会影响最终滤波的结果。

参考文献：

- [1] 冈萨雷斯.数字图像处理（第三版）北京：电子工业出版社，2011

